

## Experimento 4 - EA 619

### Introdução e objetivos

Esse experimento teve como objetivo a simulação de sistemas dinâmicos, a partir de equações diferenciais e equações de estado. O matlab foi utilizado em todos os itens e todos os códigos se encontram em anexo.

### Atividade 1

Para essa atividade consideramos o sistema dinâmico representado pela equação diferencial:  $y'''(t) + (2 + 6p)y''(t) + (9 + 12p)y'(t) + 18y(t) = 18x(t)$  sendo  $p$  um valor desconhecido e pertencente a faixa  $[0.1, 1.2]$ .

O objetivo dessa atividade foi avaliar o valor do sobressinal  $M_p$ , dado por  $(y_{max} - y_{final})/y_{final}$ , por meio de simulações para vários valores de  $p$ .

#### Implementação no simulink:

Para isso implementamos um diagrama no simulink que representa a equação diferencial para condições iniciais nulas, considerando o bloco *step* como função de entrada (Figura 1).

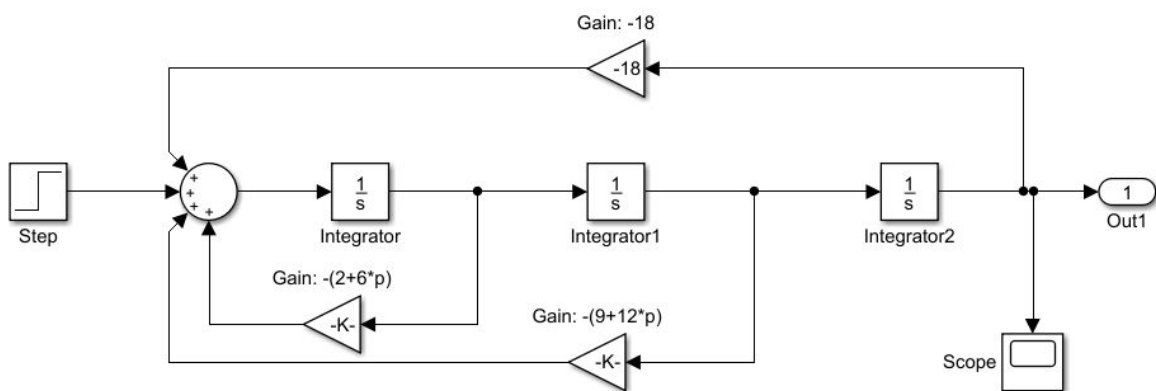


Figura 1: Diagrama no Simulink que implementa a equação diferencial para condições iniciais nulas

#### Script em matlab para 50 valores de p:

Fizemos a chamada desse diagrama para 50 diferentes valores de  $p$ , utilizando o comando  $p = \text{linspace}(0.1, 1.2, 50)$ . Então, a partir do comando  $\text{simOut} = \text{sim}(\text{'sistemaLinearOrdem3'}, \text{'SrcWorkspace'}, \text{'current'}, \text{'maxstep'}, \text{'0.1'})$  obtivemos o resultado para cada um dos valores de  $p$  (Figura 2). A partir dessa simulação percebe-se que conforme  $p$  aumenta, o sobressinal diminui. Os instantes de tempo e os valores de  $y$  são dados pelas variáveis  $\text{simOut.yout}\{1\}.\text{Values.Time}$  e  $\text{simOut.yout}\{1\}.\text{Values.Data}$ , respectivamente.

#### Maior valor de sobressinal:

Então, pudemos analisar o comportamento do sobressinal  $M_p$ . Ele assume seu valor máximo, 0.3333, quando  $p=0.1$  e no instante de tempo  $t = 1.4\text{s}$ .

**Sobressinal menor que 7%:**

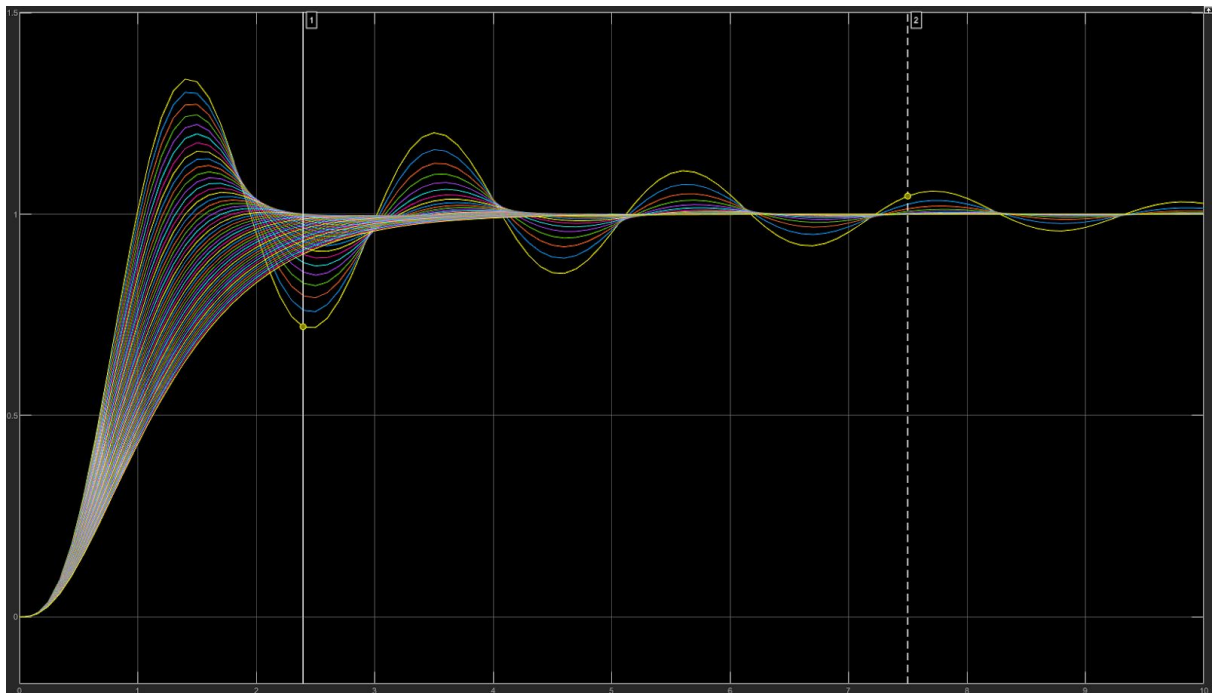
O sobressinal é menor que 7%, quando o valor de  $p$  está entre 0.392 e 1.200.

**Sobressinal mais próximo de 7% e função de transferência:**

O valor de  $p$  que gera um sobressinal mais próximo de 7% é 0.392, com um sobressinal de 0.0652. Nesse caso, a partir da função de transferência foi possível determinar os pólos da função como  $-1.1755 + 2.7601i$ ;  $-1.1755 - 2.7601i$  e  $-2.00$ .

**Faixa em que não ocorre sobressinal (menor que 1%):**

Por fim, a faixa de  $p$  para a qual não há sobressinal, isto é, o sobressinal é menor que 1% é entre 0.549 e 1.200.

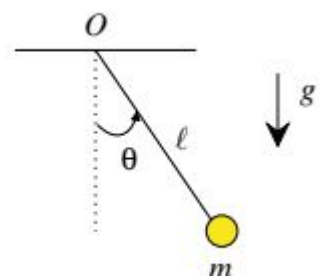


**Figura 2:** Resultado da simulação para 50 diferentes valores de  $p$  num intervalo de 10 segundos.

**Atividade 2**

O objetivo dessa atividade foi a análise da equação diferencial que representa um pêndulo simples (Figura 4):

$$\theta''(t) + \beta\theta'(t) + g/l \sin(\theta(t)) = 0$$



em que  $\beta$  é um coeficiente de amortecimento proporcional à velocidade angular do pêndulo.

No caso, consideramos um pêndulo não amortecido, portanto  $\beta = 0$  e a equação a ser analisada é:

$$\theta''(t) + g/l \sin(\theta(t)) = 0$$

**Figura 3:** Pêndulo simples.

### Representação em espaço de estados e pontos de equilíbrio:

Para obter a representação da equação em espaço de estados, definimos as variáveis  $v_1$  e  $v_2$  como:

$$v_1 = \theta(t)$$

$$v_2 = \theta'(t)$$

Então:

$$v_1' = v_2$$

$$v_2' = -g/l \sin(\theta(t))$$

Com isso é possível obter os pontos de equilíbrio:

$$\begin{aligned} f_1 = v_1' = 0 &\Rightarrow v_2 = 0 \\ f_2 = v_2' = 0 &\Rightarrow -g/l \sin(v_1) = 0 \Rightarrow \sin(v_1) = 0 \Rightarrow v_1 = n\pi \end{aligned}$$

Os pontos de equilíbrio são dados por  $(n\pi, 0)$ , sendo  $n$  inteiro, isto é,  $n = 0, \pm 1, \pm 2, \dots$

### Modelo linearizado em torno dos pontos de equilíbrio:

Adotando  $l=1$ , podemos então obter o modelo linearizado em torno dos pontos de equilíbrio  $(0, 0)$  e  $(\pi, 0)$

$$\begin{aligned} f_1 &= x_2 \\ f_2 &= -g \sin(x_1) \\ g &= x_1 \end{aligned}$$

Sabendo que  $A = \begin{bmatrix} df_1/dv_1 & df_1/dv_2 \\ df_2/dv_1 & df_2/dv_2 \end{bmatrix}$ , então:  $A = \begin{bmatrix} 0 & 1 \\ -g \cos(v_1) & 0 \end{bmatrix}$

A matriz  $B$  é nula nesse caso, uma vez que o vetor de entrada  $x$  é nulo.

Em  $(0, 0)$ :

$$v' = \begin{bmatrix} 0 & 1 \\ -g & 0 \end{bmatrix} v$$

Em  $(\pi, 0)$ :

$$v' = \begin{bmatrix} 0 & 1 \\ g & 0 \end{bmatrix} v$$

### Estabilidade dos sistemas linearizados:

Para  $(0,0)$  temos  $\det(\lambda I - A) = \begin{bmatrix} \lambda & -1 \\ g & \lambda \end{bmatrix} = 0 \Rightarrow \lambda^2 + g = 0 \Rightarrow \lambda = \pm j\sqrt{g}$

Ou seja, nesse caso o comportamento é oscilatório e estável (autovalores sem parte real).

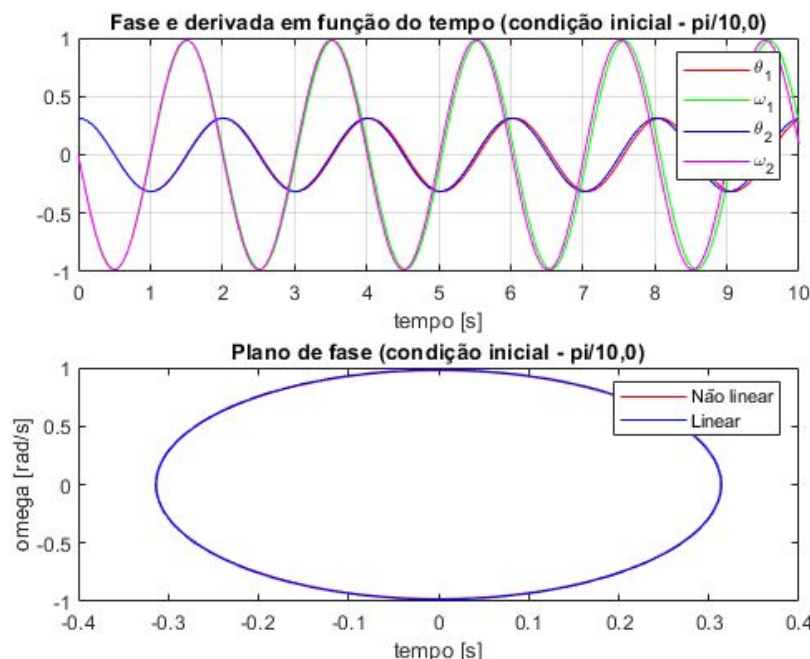
Para  $(\pi,0)$  temos  $\det(\lambda I - A) = \begin{bmatrix} \lambda & -1 \\ -g & \lambda \end{bmatrix} = 0 \Rightarrow \lambda^2 - g = 0 \Rightarrow \lambda = \pm \sqrt{g}$

Ou seja, nesse caso o comportamento é instável (autovalor com parte real positiva).

### Simulação Pêndulo Simples $(\theta(0), \theta'(0)) = (\pi/10, 0)$ :

Utilizando como condição inicial  $(\theta(0), \theta'(0)) = (\pi/10, 0)$  temos as seguintes simulações utilizando o comando ode45 do matlab:

Link do vídeo: [pendSimples\\_pi\\_10.avi](#)

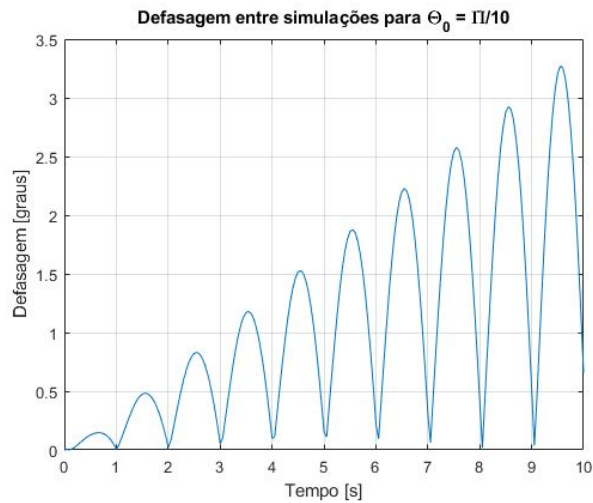


**Figura 4:** Simulação da fase e derivada em função do tempo utilizando a condição inicial  $(\theta(0), \theta'(0)) = (\pi/10, 0)$ .

### Defasagem entre as simulações para $(\theta(0), \theta'(0)) = (\pi/10, 0)$ :

A defasagem entre as simulações foi calculada calculando o módulo da diferença entre o valor de  $\Theta$  para a simulação linear e não linear para um mesmo instante de tempo, através da função "defasagem" descrita no anexo da atividade 2.

A partir das simulações (Figura 4) podemos perceber que utilizando um ponto próximo ao ponto de linearização  $(0,0)$ , as simulações lineares e não lineares não apresentam grandes diferenças (Figura 5) em um intervalo de 10 segundos, de forma que os intervalos que possuem defasagem superior a 2 graus são mostrados na Figura 6.



**Figura 5:** Defasagem angular entre as simulações linear e não linear para a condição inicial:  $(\theta(0), \theta'(0)) = (\pi/10, 0)$ .

**Defasagem superior a 2 graus**

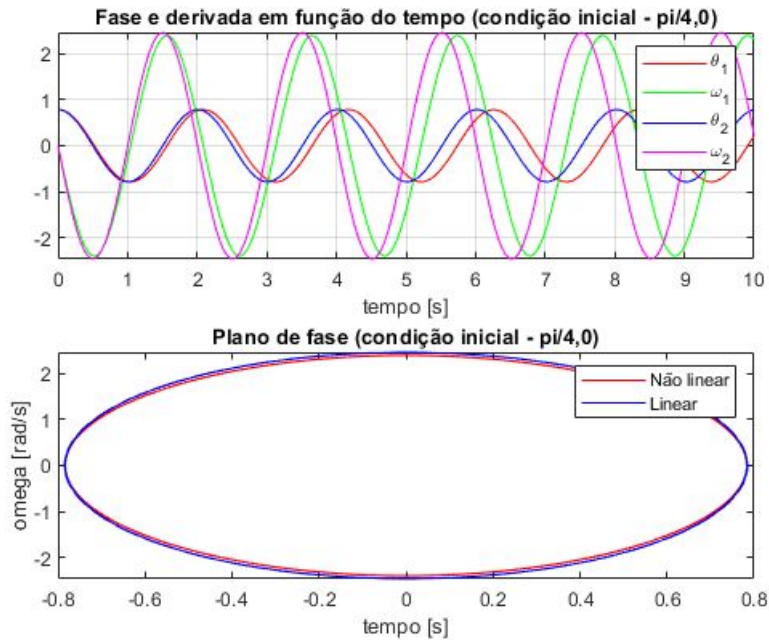
Instante inicial $t_0$ [s]	Instante final $t_f$ [s]
6.45	6.70
7.35	7.80
8.30	8.85
9.30	9.90

**Figura 6:** Tabela com intervalos temporais para os quais a defasagem entre a simulação linear e não linear é superior a 2 graus para  $(\theta(0), \theta'(0)) = (\pi/10, 0)$ .

### Simulação Pêndulo Simples $(\theta(0), \theta'(0)) = (\pi/4, 0)$ :

Utilizando como condição inicial  $(\theta(0), \theta'(0)) = (\pi/4, 0)$  temos as seguintes simulações utilizando o comando ode45 do matlab:

Link do vídeo: [pendSimple\\_pi\\_4.avi](#)

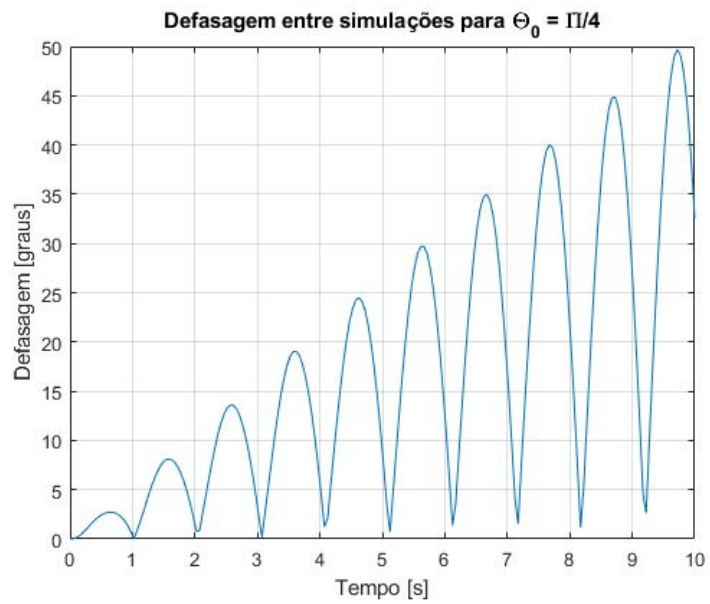


**Figura 7:** Simulação da fase e derivada em função do tempo utilizando a condição inicial  $(\theta(0), \theta'(0)) = (\pi/4, 0)$ .

#### **Defasagem entre as simulações para $(\theta(0), \theta'(0)) = (\pi/4, 0)$ :**

A defasagem entre as simulações foi calculada calculando o módulo da diferença entre o valor de  $\Theta$  para a simulação linear e não linear para um mesmo instante de tempo, através da função “defasagem” descrita no anexo da atividade 2.

A partir das simulações (Figura 7) podemos perceber que utilizando um ponto mais distante do ponto de linearização  $(0,0)$ , as simulações lineares e não lineares apresentam grandes diferenças (Figura 8) em um intervalo de 10 segundos, de forma que os intervalos que possuem defasagem superior a 2 graus são mostrados na Figura 9. Diante disso, podemos concluir que o modelo linear aproxima adequadamente apenas em torno do ponto de linearização escolhido, apresentando grandes distorções para pontos iniciais mais distantes.



**Figura 8:** Defasagem angular entre as simulações linear e não linear para a condição inicial:  
 $(\theta(0), \theta'(0)) = (\pi/4, 0)$ .

Defasagem superior a 2 graus	
Instante inicial $t_0$ [s]	Instante final $t_f$ [s]
0.42	0.87
1.17	2.02
2.12	3.07
3.12	4.07
4.12	5.12
5.17	6.12
6.17	7.17
7.22	8.17
8.22	10.00

**Figura 9:** Tabela com intervalos temporais para os quais a defasagem entre a simulação linear e não linear é superior a 2 graus para  $(\theta(0), \theta'(0)) = (\pi/4, 0)$ .

### Atividade 3

O objetivo dessa atividade foi analisar o comportamento de um pêndulo duplo, formado por duas massas ( $m_1$  e  $m_2$ ) ligadas entre si por  $l_2$  e com  $m_1$  ligado à origem por  $l_1$ .

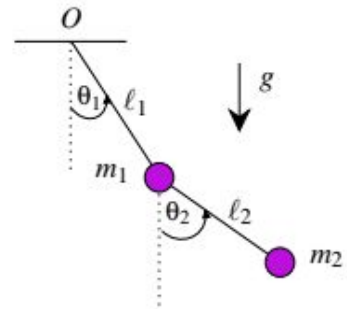


Figura 11: Pêndulo duplo.

As equações que modelam a dinâmica dos pêndulos foram dadas e são:

$$\begin{aligned}\dot{\theta}_1 &= \omega_1 \\ \dot{\omega}_1 &= \frac{-g(2m_1 + m_2)\sin(\theta_1) - m_2 g \sin(\theta_1 - 2\theta_2) - 2\sin(\theta_1 - \theta_2)m_2(\omega_2^2 l_2 + \omega_1^2 l_1 \cos(\theta_1 - \theta_2))}{l_1(2m_1 + m_2 - m_2 \cos(2\theta_1 - 2\theta_2))} \\ \dot{\theta}_2 &= \omega_2 \\ \dot{\omega}_2 &= \frac{2\sin(\theta_1 - \theta_2)(\omega_1^2 l_1(m_1 + m_2) + g(m_1 + m_2)\cos(\theta_1) + \omega_2^2 l_2 m_2 \cos(\theta_1 - \theta_2))}{l_2(2m_1 + m_2 - m_2 \cos(2\theta_1 - 2\theta_2))}\end{aligned}$$

sendo  $\omega_i$  e  $\omega_i'$  a velocidade e aceleração do corpo  $i$ , respectivamente.

A partir do comando ode45 desenvolvemos um script para simular a dinâmica do pêndulo, considerando  $m_1 = m_2 = 2$  e  $L_1 = L_2 = 1$ , e a condição inicial como  $x_0 = [\pi/10 \ 0 \ \pi/10 \ 0]$ . Com isso obtivemos os gráficos que ilustram a dinâmica do pêndulo duplo (Figuras 12, 13 e 14).

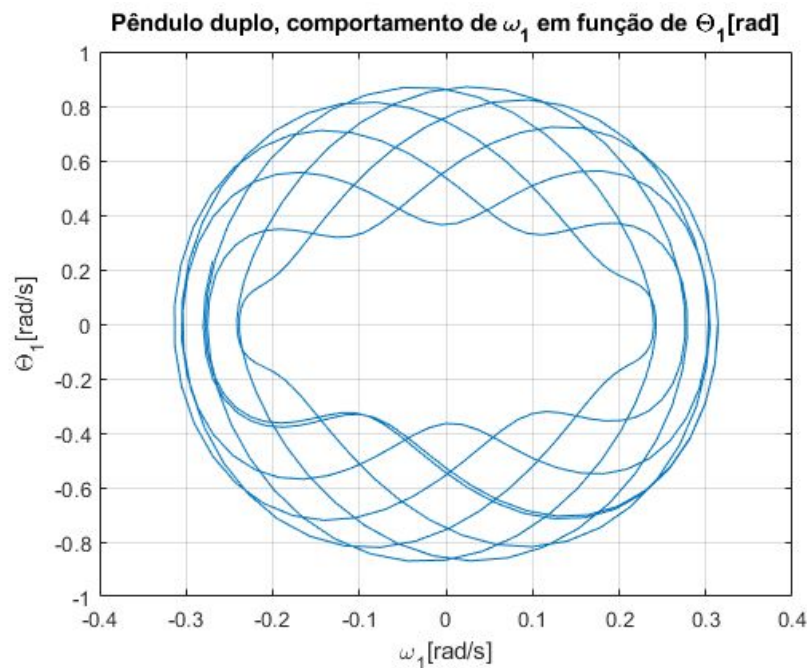
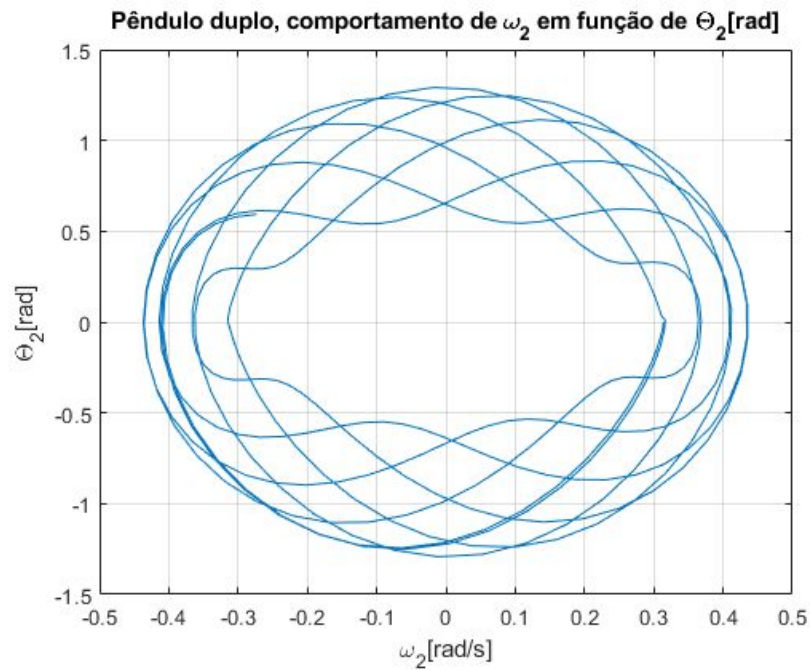
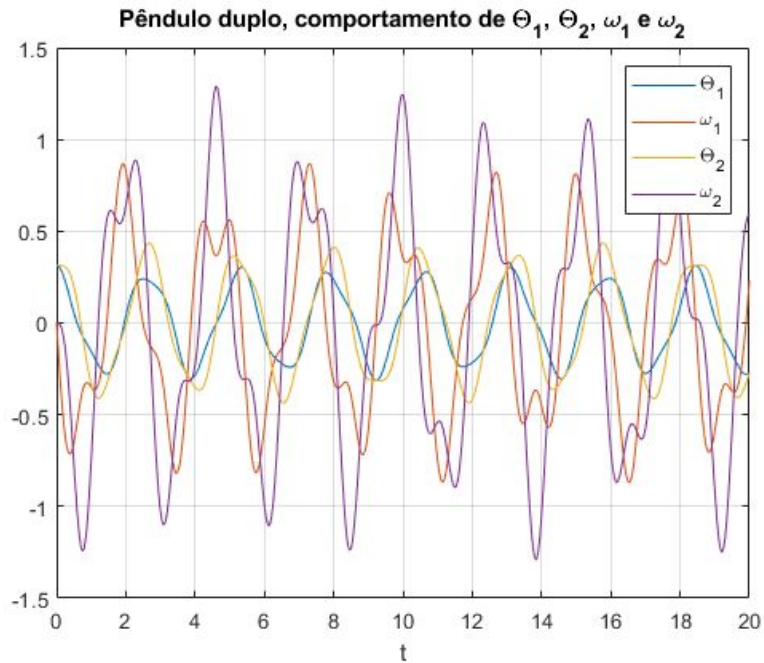


Figura 12:  $\omega_1$  em função de  $\theta_1$





**Figura 13:**  $\omega_2$  em função de  $\theta_2$



**Figura 14:** Comportamento do pêndulo duplo.

Adaptando o código da função GeraVideo da atividade 2 geramos um vídeo que simula a dinâmica do pêndulo duplo ([pendDuplo.avi](#)).